

壁面噴流速度分布について

山口大曾
正員 有源 隆
西日本工業大学 正員〇赤司 信義
不動建設 正 小林 隆

壁面噴流は自由噴流と同形の速度分布をもつ主流部流れと、壁面の影響をうけた境界層流れとが、最大流速まで接続した速度分布をもつ流れである。境界層速度分布は通常の乱流境界層や開水路におけるそれに較べて、かなり一様化されており、従来からされている指数則や対数則を壁面噴流境界層流れに適用できるかどうか疑問がもたれていた。粗溝壁面に拡散する壁面噴流流れに対する Basius 則、Manning-Stickel's の式を用いて検討を行ってみた。その結果ボテンシャルコアの存在する拡散領域とかいっては適用してもよしつかえないようだが、乱れの確立領域に於ては境界層発達、抵抗係数又に実験値より少しあり小さく、速度分布の一様化を説明できなかった。

壁面噴流における境界層流れが、一様流中に置かれた平板に沿って発達する境界層の流れと異なる点は、境界層外側の主流部の流れが大きなスケールの乱れをもつ噴流流れであることである。従って境界層外縁における乱れ特性的連続性より、両者の乱れの間には相互干渉が存在する事は明らかである。そのため、通常の主流部の乱れを無視した指数則や対数則を適用する事ができないと考える。そこで主流部の乱れの影響を境界層内にとり入れるために、渦動粘性係数の分布を次式の様に提案した。

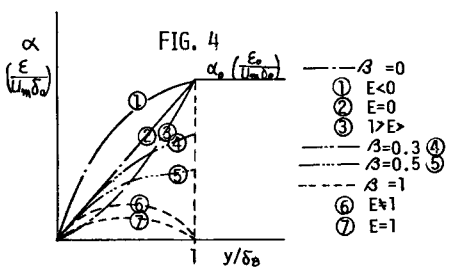
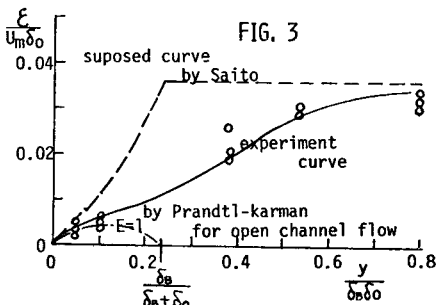
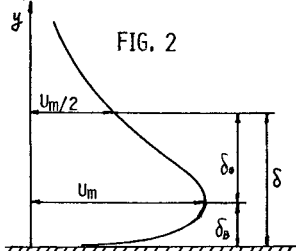
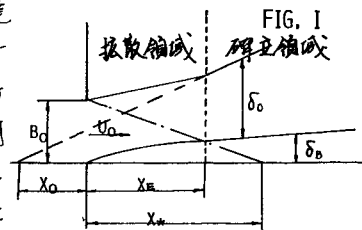
$$\varepsilon = K U_* \delta_B \gamma (1 - E \gamma), \quad E = - \frac{X_0 U_m \delta}{K U_* \delta_B} \quad (1)$$

E は主流部の乱れの影響を含むるかの γ で 1 へ $-\infty$ の値をとる。 $E=1$ の時通常の Prandtl-Karman の対数則に一致する。上式を剪断力分布に導入して、速度分布を導き、これら得られた速度分布を運動量方程式に適用する事によって、境界層厚及び抵抗係数を求めた。その結果得られた速度分布から拡散則に対して十分な妥当性を認め、従来の指数則、対数則は壁面噴流に適用できなくなる事を明らかにした。

上述の渦動粘性係数は図 1 に示すように境界層外縁を主流部の乱れに接続するという条件は満たしているものの、実測した速度分布から求めた渦動粘性係数の値に対して、境界層外縁付近でかなりの隔たりをみせてある。又主流部と境界層内の接続も揺らかに接続されている。本報告ではこうした点をふまえて、渦動粘性係数の分布を三次曲線で仮定して考察を進めるものである。

$$\varepsilon = K U_* \delta_B \gamma \{ 1 - E \gamma - \beta (1 - E) \gamma^2 \} \quad (2)$$

ここで β は $0 \leq \beta \leq 1$ の値をとり、渦動粘性係数の分布を規定するパラメーターである。上式と(1)式の分布を比較すると若干の様になつてある。渦動粘性係数を(2)式で仮定すると共に壁面近傍における複雑な流れを簡略化するために外縁のみならず流れの全領域に渡って流体粘性を無視し、それによつて生じる矛盾を更



実的壁面位置 y_0 を導入する事に $\beta > 2$, 實用式ともいふべき, 速度分布則を示すと次式と得られる。

$$\frac{U}{U_*} = \frac{1}{K} \left\{ \ln \frac{\eta}{\eta_0} + \frac{\sqrt{E^2 + 4A(1-E)} + E - 2}{2\sqrt{E^2 + 4A(1-E)}} \cdot \ln \left| \frac{A(1-E)\eta^2 + E\eta_0 - 1}{A(1-E)\eta^2 + E\eta - 1} \right| \right. \\ \left. + \frac{E - 2}{\sqrt{E^2 + 4A(1-E)}} \ln \left| \frac{2A(1-E)\eta + E + \sqrt{E^2 + 4A(1-E)}}{2A(1-E)\eta_0 + E + \sqrt{E^2 + 4A(1-E)}} \right| \right\} \quad (3)$$

上式の第一項, 第三項が主流部乱れの影響を表わしており, $\beta = 0$, $E = 1$ の時 Prandtl-Karman の対数則に一致する。便宜的壁面位置 ($\eta = y_0$ で $U = 0$) の決定は, Prandtl-Karman の式と, Nikuradse の実験結果を比較して定めると次式となる。

$$\frac{U_* y_0}{\nu} = 0.1108 \quad \text{for } \frac{U_* k_s}{\nu} \leq 3.3$$

$$-\frac{1}{\lambda} \ln \frac{y_0}{k_s} = Ar \quad \text{for } \frac{U_* k_s}{\nu} > 3.3$$

$$Ar = 3.5 + 0.747 \left(\frac{U_* k_s}{\nu} - 3.3 \right)^{1/2}$$

$$* \exp \left\{ -0.077 \left(\frac{U_* k_s}{\nu} - 3.3 \right) \right\}$$

(4)

(3) 式及び(4)式を用いて境界層の発達, 抵抗係数, 速度分布を求め,

(1) 式に基づく実用式と比較してみる。

Fig. 5 は境界層発達を, Fig. 6

は抵抗係数を, Fig. 7 は $X/B_0 = 10, 20, 40$ の断面の速度分布を示したものである。どの図にも $\beta = 2$ (1) 式と同一), $\beta = 0.3, 0.5$ の場合の計算結果を示している。いずれの値も $\beta = 0, 0.3, 0.5$ と変化させてもほとんど差異は認められない。 β を大きくするとどの値も若干小さくなる, これら程度である。従がって主流部乱れの影響 E をとりいれて, 境界層や抵抗係数といった境界層内全体を問題にする様な場合には擾動速度係数をかかせない間に閉めらる, すなはち壁面近傍の流れや速度勾配を問題にする様な場合には擾動粘性係数の分布を規定する β を 0.3 程度にし, 摩擦底層, 水流底層を考慮した厳密式を取扱う必要がある。

FIG. 5

境界層の発達

calculation curve

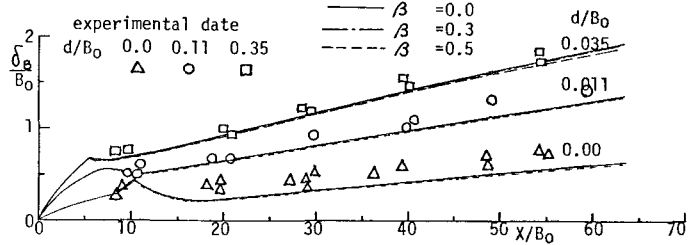


FIG. 6

抵抗係数

experimental date

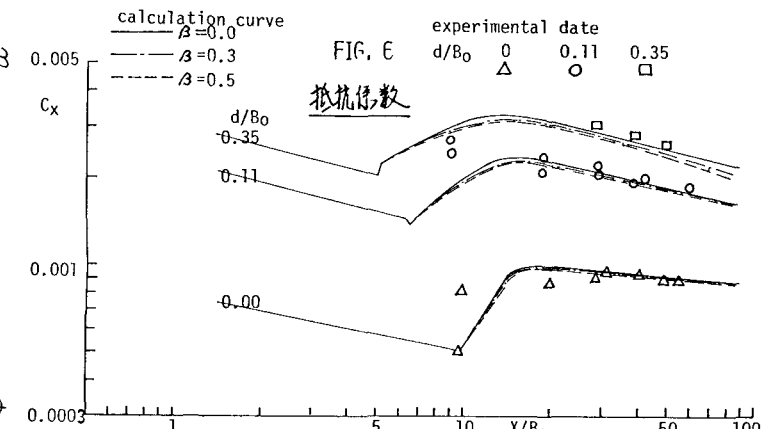


FIG. 7

境界層内速度分布

